

# РАСЧЕТ ПАРАМЕТРИЗОВАННОЙ КООРДИНАТЫ МАТЕМАТИЧЕСКОЙ МОДЕЛИ ДИНАМИКИ НИТИ ПРИ СОВМЕСТНОМ УЧЕТЕ ПРОДОЛЬНЫХ И ПОПЕРЕЧНЫХ КОЛЕБАНИЙ

Р. Р. СААКЯН

*Амурский государственный университет, Благовещенск, Россия*

e-mail: sahakyan@amursu.ru

В. А. КЛИМОВ

*Санкт-Петербургский государственный университет*

*технологии и дизайна, Россия*

The correction of the calculation schemes for solving the equation of fluctuation of a string according D'Alamber is considered taking into account the interaction of parts of string movement on the multilocal test facility.

Свойства химических волокон отличаются большим разнообразием и определяются не в последнюю очередь внутренними межмолекулярными связями. Этим можно объяснить внимание, которое уделяется акустическим методам исследования свойств химических волокон.

Перспективным следует считать применение в этой области ультразвуковых подходов, обеспечивающих одновременно неповреждаемость объекта вследствие малости амплитуды колебаний нити и сильное воздействие на элементы измеряющих средств, что достигается применением высокочастотных сигналов. При возбуждении в нити высокочастотных колебаний затрагивается ее внутренняя структура и возбуждаются межмолекулярные связи.

Для исследования свойств химических волокон используется ультразвуковая испытательная установка, кинематическая схема которой представлена на рис. 1 [1].

Кинематическая схема имеет четыре участка. Имеются три ограничителя движения, по которым нить может скользить в обоих направлениях, левый конец нити закреплен, а на правом — подвешен груз, создающий натяжение. Точками ограничения движения являются точки 0, 1, 2, 3. Углы  $\psi$  определяют исходные положения нити в натянутом состоянии. В точке 0 нить закреплена. Опора 1 создает за счет пьезодатчика вертикальные перемещения точек нити при их скольжении по ней, создавая гармонические колебания. В опору 2 вмонтирован пьезоприемник, сигнал которого является выходным.

Вследствие особенностей конструкции пьезоэлементов [2] в нити возбуждаются и принимаются высокочастотные совместные продольные и поперечные колебания. Об этом

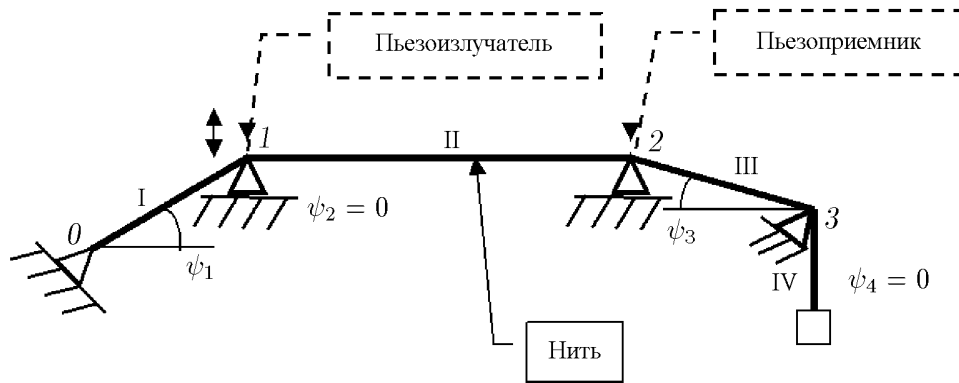


Рис. 1.

свидетельствует изменение скорости распространения ультразвука в нити в зависимости от частоты возбуждения высокочастотных колебаний.

Следовательно, выходной сигнал высокочастотной установки (экспериментальная кривая) содержит информацию о внутренней структуре нити, а высокочастотные колебания приводят в действие механизмы, которые влияют на свойства нитей и отражаются в их характеристиках.

С целью выявления возможности использования экспериментальной кривой для диагностирования свойств испытуемых нитей требуется установить те свойства нити, которые определяют форму ее движения.

В соответствии с общим подходом [1] вначале записываются уравнения для каждого канала движения, т. е. для каждой координаты, определяющей положение элемента нити, без учета взаимодействия каналов движения, например, продольных и поперечных колебаний. Для каждого участка кинематической схемы получается своя совокупность уравнений параболического типа, неоднородных хотя бы из-за слагаемых, учитывающих влияние веса. В общем случае без учета влияния веса нити соответственно для продольных и поперечных колебаний имеем

$$U_{tt} = \frac{b}{\rho_0} U_x'', \quad V_{tt} = \frac{T_0}{\rho_0} V_x'',$$

где  $b$  — коэффициент упругости нити;  $T$  — натяжение;  $\rho_0$  — линейная плотность.

Для получения решения по каждому из этих уравнений может быть использована известная схема, опирающаяся на запись решения в форме Даламбера. Однако в данном случае требуется осуществить обобщение этой схемы, чтобы обобщенная схема поиска решения по Даламберу давала возможность найти полное решение уравнения динамики нити [3].

В соответствии с принципом Даламбера решение уравнения для продольных колебаний участка ищется в виде

$$U = A(p) + B(q),$$

где  $p = \left(t + \sqrt{\rho_0/b} x\right)$  и  $q = \left(t - \sqrt{\rho_0/b} x\right)$ .

Запись решения в представленном виде позволяет расчеты, как и построение процессов, выполнять по конечно-разностной схеме. Для запуска схемы необходимо определить функции  $A$  и  $B$  на начальных участках изменения аргументов с использованием начальных условий [3].

Конечно-разностная схема для вычисления функций  $A$  и  $B$  выводится из граничных условий. Причем на первом этапе ставится задача получить функции  $A(p)$  и  $B(q)$  без раскрытия содержания составных аргументов  $p$  и  $q$ . При этом имеется в виду, что по известным функциям  $A(p)$  и  $B(q)$  на втором этапе получения решений могут быть найдены зависимости  $U(t)$  при некотором  $x$  или  $U(x)$  при некотором диапазоне изменения  $t$ .

Решение для поперечных колебаний нити находится аналогичным образом:

$$V = C(p) + D(q),$$

где  $p = (t + \sqrt{\rho_0/T_0}x)$ ,  $q = (t - \sqrt{\rho_0/T_0}x)$ .

Переход к полному решению должен предусматривать, во-первых, учет взаимовлияния участков кинематической схемы, поскольку объект рассмотрения — нить — является единым для всей кинематической схемы и точки нити могут переходить с одного участка на другой, во-вторых, учет на каждом участке взаимовлияний каналов движения нити.

Численно-аналитическое моделирование динамики химических нитей на испытательной установке предполагает:

- конкретизацию для каждого участка направлений осей продольных и поперечных колебаний;
- запись для каждого участка начальных и граничных условий;
- запись выражений для функций  $A$ ,  $B$ ,  $C$ ,  $D$ , которые используются для формирования решения, на начальных участках изменения аргументов, необходимых для запуска расчетных схем по Даламберу;
- получение на основе аналитических зависимостей правил для составления конечно-разностных схем формирования функций  $A$ ,  $B$ ,  $C$ ,  $D$  целиком для каждого участка;
- учет взаимовлияния всех участков кинематической схемы, т. е. скольжения нити по опорам, введением параметризации координат вдоль нити;
- расчет параметризованной координаты по каждой опоре как для продольных, так и для поперечных колебаний нити.

Для детального моделирования исследуемого процесса в статье предлагается провести расчет параметризованной координаты при учете продольных и поперечных колебаний.

Расчет параметризованной координаты математической модели динамики нити, как уже было показано в [3], выполняется по соотношению

$$x_1(t_{i+1}) = x_1(t_i) + \dot{x}_1(t_i)\Delta t \quad (1)$$

(далее все формулы будем рассматривать для опоры 1). Причем для функции  $\dot{x}_1$  были получены отдельные зависимости для поперечных и продольных колебаний [3]:

$$\begin{aligned} \dot{x}_1 &= \dot{x}_1(A'_1, B'_1, A'_2, B'_2, x_1), \\ \dot{x}_1 &= \dot{x}_1(C'_1, D'_1, C'_2, D'_2, x_1), \end{aligned}$$

которые использовались в дальнейших расчетах. Здесь индексы при функциях  $A$ ,  $B$ ,  $C$  и  $D$  обозначают номера участков.

При исследовании динамики нити с учетом взаимодействия каналов движения [1] (т. е. продольных и поперечных колебаний) расчет функции  $\dot{x}_1$  выполняется по формуле [1]

$$\dot{x}_1 = \dot{x}_1(A'_1, B'_1, A'_2, B'_2, C'_1, D'_1, C'_2, D'_2, x_1). \quad (2)$$

Как и в предыдущем случае [3], исходим из того, что условие, определяющее точку нити (и ее координату), лежащую на опоре 1 (точка 1), есть равенство натяжений или относительных деформаций нити в этой точке для первого и второго участков.

Вначале рассмотрим обобщенное, вне зависимости от участков, математическое представление относительной деформации нити с учетом взаимодействия каналов движения (продольных и поперечных колебаний). Возьмем две близлежащие точки нити  $-x$  и  $x + \Delta x$ . Будем рассматривать систему координат  $(\tilde{U}, \tilde{V})$ , определяемых соотношениями

$$\begin{cases} \tilde{U} = x + U, \\ \tilde{V} = V, \end{cases} \quad (3)$$

где  $U, V$  — соответственно продольные и поперечные отклонения от исходного положения нити;  $\tilde{U}, \tilde{V}$  — полные координаты продольных и поперечных колебаний нити (рис. 2).

Вычислим расстояние (длину нити) между точками  $x$  и  $x + \Delta x$ :

$$\rho(x, x + \Delta x) \approx \sqrt{\left[\tilde{U}(t, x + \Delta x) - \tilde{U}(t, x)\right]^2 + \left[\tilde{V}(t, x + \Delta x) - \tilde{V}(t, x)\right]^2}.$$

Для относительной деформации нити  $\varepsilon$  получаем уравнение

$$\begin{aligned} \varepsilon &= \frac{\rho(x, x + \Delta x) - \Delta x}{\Delta x} = \frac{\rho(x, x + \Delta x)}{\Delta x} - 1 \approx \\ &\approx \sqrt{\left[\frac{\tilde{U}(t, x + \Delta x) - \tilde{U}(t, x)}{\Delta x}\right]^2 + \left[\frac{\tilde{V}(t, x + \Delta x) - \tilde{V}(t, x)}{\Delta x}\right]^2} - 1. \end{aligned} \quad (4)$$

При условии  $\Delta x \rightarrow 0$  из (4) имеем

$$\varepsilon \approx \sqrt{\left[\tilde{U}'_x(t, x)\right]^2 + \left[\tilde{V}'_x(t, x)\right]^2} - 1. \quad (5)$$

С учетом системы (3) для относительной деформации нити  $\varepsilon$  получаем

$$\varepsilon \approx \sqrt{(1 + \tilde{U}'_x)^2 + (\tilde{V}'_x)^2} - 1. \quad (6)$$

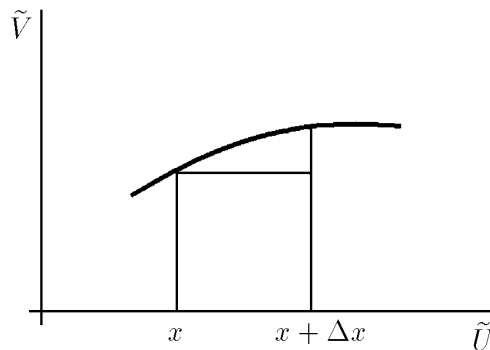


Рис. 2.

Как было сказано выше, в данном случае в точке 1 должно соблюдаться равенство полученной относительной деформации (натяжения) нити со стороны первого участка справа и со стороны второго участка слева:

$$\left( \sqrt{(1 + U'_{1x})^2 + V'_{1x}{}^2} - 1 \right)_{x=x_1} = \left( \sqrt{(1 + U'_{2x})^2 + V'_{2x}{}^2} - 1 \right)_{x=x_1}. \quad (7)$$

После сокращений уравнение (7) приобретает по отношению к производным функций  $A$ ,  $B$ ,  $C$  и  $D$  по полным аргументам вид

$$\begin{aligned} & \left[ 1 + \left( A'_1 \left( t + \sqrt{\frac{\rho_0}{b}} x_1 \right) - B'_1 \left( t - \sqrt{\frac{\rho_0}{b}} x_1 \right) \right) \sqrt{\frac{\rho_0}{b}} \right]^2 + \\ & \quad + \left[ C'_1 \left( t + \sqrt{\frac{\rho_0}{T_0}} x_1 \right) - D'_1 \left( t - \sqrt{\frac{\rho_0}{T_0}} x_1 \right) \right]^2 \frac{\rho_0}{T_0} = \\ = & \left[ 1 + \left( A'_2 \left( t + \sqrt{\frac{\rho_0}{b}} x_1 \right) - B'_2 \left( t - \sqrt{\frac{\rho_0}{b}} x_1 \right) \right) \sqrt{\frac{\rho_0}{b}} \right]^2 + \\ & \quad + \left[ C'_2 \left( t + \sqrt{\frac{\rho_0}{T_0}} x_1 \right) - D'_2 \left( t - \sqrt{\frac{\rho_0}{T_0}} x_1 \right) \right]^2 \frac{\rho_0}{T_0}. \end{aligned} \quad (8)$$

Далее можно воспользоваться приведенными ниже граничными условиями из [3] для первого и второго участков, выполнить для одного из уравнений в каждой группе дифференцирование по времени  $t$ , имея в виду, что в получающемся результате будет присутствовать производная  $\dot{x}_1$ .

Рассмотрим граничные условия:

*Первый участок — продольные колебания*

$$\begin{cases} A_1(t) + B_1(t) = 0, \\ A_1 \left( t + \sqrt{\frac{\rho_0}{b}} x_1 \right) - B_1 \left( t - \sqrt{\frac{\rho_0}{b}} x_1 \right) = l_1 - x_1(t) + \alpha \sin \psi_1 (1 - \cos \omega t). \end{cases} \quad (9)$$

*Второй участок — продольные колебания*

$$\begin{cases} A_2 \left( t + \sqrt{\frac{\rho_0}{b}} x_1 \right) - B_2 \left( t - \sqrt{\frac{\rho_0}{b}} x_1 \right) = l_1 - x_1(t), \\ A_2 \left( t + \sqrt{\frac{\rho_0}{b}} x_2 \right) - B_2 \left( t - \sqrt{\frac{\rho_0}{b}} x_2 \right) = l_1 + l_2 - x_2(t). \end{cases} \quad (10)$$

*Первый участок — поперечные колебания*

$$\begin{cases} C_1(t) + D_1(t) = 0, \\ C_1 \left( t + \sqrt{\frac{\rho_0}{T_0}} x_1 \right) - D_1 \left( t - \sqrt{\frac{\rho_0}{T_0}} x_1 \right) = \alpha \cos \psi (1 - \cos \omega t). \end{cases} \quad (11)$$

*Второй участок — поперечные колебания*

$$\begin{cases} C_2 \left( t + \sqrt{\frac{\rho_0}{T_0}} x_1 \right) - D_2 \left( t - \sqrt{\frac{\rho_0}{T_0}} x_1 \right) = \alpha (1 - \cos \omega t), \\ C_2 \left( t + \sqrt{\frac{\rho_0}{T_0}} x_2 \right) - D_2 \left( t - \sqrt{\frac{\rho_0}{T_0}} x_2 \right) = 0. \end{cases} \quad (12)$$

Возьмем второе соотношение системы (9). Дифференцирование по времени  $t$  дает

$$\left(1 + \sqrt{\frac{\rho_0}{b}} \dot{x}_1\right) A'_1 \left(t + \sqrt{\frac{\rho_0}{b}} x_1\right) + \left(1 - \sqrt{\frac{\rho_0}{b}} \dot{x}_1\right) B'_1 \left(t - \sqrt{\frac{\rho_0}{b}} x_1\right) = -\dot{x}_1 + \alpha \omega \sin \psi_1 \sin \omega t. \quad (13)$$

Из первого соотношения системы (10) после дифференцирования получим

$$\left(1 - \sqrt{\frac{\rho_0}{b}} \dot{x}_1\right) B'_2 \left(t - \sqrt{\frac{\rho_0}{b}} x_1\right) + \left(1 + \sqrt{\frac{\rho_0}{b}} \dot{x}_1\right) A'_2 \left(t + \sqrt{\frac{\rho_0}{b}} x_1\right) = -\dot{x}_1. \quad (14)$$

Дифференцирование второго соотношения системы (11) дает

$$\left(1 + \sqrt{\frac{\rho_0}{T_0}} \dot{x}_1\right) C'_1 \left(t + \sqrt{\frac{\rho_0}{T_0}} x_1\right) + \left(1 - \sqrt{\frac{\rho_0}{T_0}} \dot{x}_1\right) D'_1 \left(t - \sqrt{\frac{\rho_0}{T_0}} x_1\right) = \alpha \omega \cos \psi_1 \sin \omega t. \quad (15)$$

Из первого соотношения системы (12) после дифференцирования получим

$$\left(1 - \sqrt{\frac{\rho_0}{T_0}} \dot{x}_1\right) D'_2 \left(t - \sqrt{\frac{\rho_0}{T_0}} x_1\right) + \left(1 + \sqrt{\frac{\rho_0}{T_0}} \dot{x}_1\right) C'_2 \left(t + \sqrt{\frac{\rho_0}{T_0}} x_1\right) = \alpha \omega \sin \omega t. \quad (16)$$

Подставляя из (13), (14), (15) и (16) соответственно  $A'_1$ ,  $B'_2$ ,  $C'_1$ ,  $D'_2$  в уравнение (8), запишем

$$\begin{aligned} & \left[ 1 + \left( -\frac{2}{1 + \sqrt{\frac{\rho_0}{b}} \dot{x}_1} B'_1 \left(t - \sqrt{\frac{\rho_0}{b}} x_1\right) + \frac{-\dot{x}_1 + \alpha \omega \sin \psi_1 \sin \omega t}{1 + \sqrt{\frac{\rho_0}{b}} \dot{x}_1} \right) \sqrt{\frac{\rho_0}{b}} \right]^2 + \\ & + \left[ -\frac{2}{1 + \sqrt{\frac{\rho_0}{T_0}} \dot{x}_1} D'_1 \left(t - \sqrt{\frac{\rho_0}{T_0}} x_1\right) + \frac{\alpha \omega \cos \psi_1 \sin \omega t}{1 + \sqrt{\frac{\rho_0}{T_0}} \dot{x}_1} \right]^2 \sqrt{\frac{\rho_0}{T_0}} = \\ & = \left[ 1 + \left( -\frac{2}{1 - \sqrt{\frac{\rho_0}{b}} \dot{x}_1} A'_2 \left(t + \sqrt{\frac{\rho_0}{b}} x_1\right) + \frac{-\dot{x}_1}{1 + \sqrt{\frac{\rho_0}{b}} \dot{x}_1} \right) \sqrt{\frac{\rho_0}{b}} \right]^2 + \\ & + \left[ \frac{2}{1 - \sqrt{\frac{\rho_0}{T_0}} \dot{x}_1} C'_2 \left(t + \sqrt{\frac{\rho_0}{T_0}} x_1\right) - \frac{\alpha \omega \sin \omega t}{1 - \sqrt{\frac{\rho_0}{T_0}} \dot{x}_1} \right]^2 \sqrt{\frac{\rho_0}{T_0}}. \quad (17) \end{aligned}$$

Упростив соотношение (17), получим

$$\frac{\left[ 1 + \sqrt{\frac{\rho_0}{b}} \left( \alpha \omega \sin \psi_1 \sin \omega t - 2B'_1 \left(t - \sqrt{\frac{\rho_0}{b}} x_1\right) \right) \right]^2}{\left( 1 + \sqrt{\frac{\rho_0}{b}} \dot{x}_1 \right)^2} + \frac{\left[ \alpha \omega \cos \psi_1 \sin \omega t - 2D'_1 \left(t - \sqrt{\frac{\rho_0}{T_0}} x_1\right) \right]^2 \frac{\rho_0}{T_0}}{\left( 1 + \sqrt{\frac{\rho_0}{T_0}} \dot{x}_1 \right)^2} =$$

$$= \frac{\left[1 + \sqrt{\frac{\rho_0}{b}} \left(2A_2'(t + \sqrt{\frac{\rho_0}{b}}x_1)\right)\right]^2}{\left(1 - \sqrt{\frac{\rho_0}{b}}\dot{x}_1\right)^2} + \frac{\left[2C_2' \left(t + \sqrt{\frac{\rho_0}{T_0}}x_1\right) - \alpha\omega \sin \omega t\right]^2 \frac{\rho_0}{T_0}}{\left(1 - \sqrt{\frac{\rho_0}{T_0}}\dot{x}_1\right)^2}. \quad (18)$$

Уравнение (18) представляет собой полином 4-й степени относительно  $\dot{x}_1$ . Однако в допустимом интервале изменения  $\dot{x}_1$  (а именно следует считать  $|\dot{x}_1| < \min \left\{ \sqrt{T_0/\rho_0}, \sqrt{b/\rho_0} \right\}$  — скорость распространения волны) находится только один корень уравнения (18). В численной схеме этот корень можно определить методом Ньютона, методом бисекции и др.

Для нахождения  $\dot{x}_1$  в линейном приближении разложим знаменатели дробей соотношения (18) в ряд Тейлора относительно  $\dot{x}_1$ :

$$\left\{ \begin{array}{l} \frac{1}{\left(1 + \sqrt{\frac{\rho_0}{b}}\dot{x}_1\right)^2} = 1 - 2\sqrt{\frac{\rho_0}{b}}\dot{x}_1 + 3\frac{\rho_0}{b}\dot{x}_1^2 + \dots, \\ \frac{1}{\left(1 + \sqrt{\frac{\rho_0}{T_0}}\dot{x}_1\right)^2} = 1 - 2\sqrt{\frac{\rho_0}{T_0}}\dot{x}_1 + 3\frac{\rho_0}{T_0}\dot{x}_1^2 + \dots; \end{array} \right. \quad (19)$$

$$\left\{ \begin{array}{l} \frac{1}{\left(1 - \sqrt{\frac{\rho_0}{b}}\dot{x}_1\right)^2} = 1 + 2\sqrt{\frac{\rho_0}{b}}\dot{x}_1 + 3\frac{\rho_0}{b}\dot{x}_1^2 - \dots, \\ \frac{1}{\left(1 - \sqrt{\frac{\rho_0}{T_0}}\dot{x}_1\right)^2} = 1 + 2\sqrt{\frac{\rho_0}{T_0}}\dot{x}_1 + 3\frac{\rho_0}{T_0}\dot{x}_1^2 - \dots \end{array} \right. \quad (20)$$

Используя (18)–(20), получаем искомую зависимость (2) в линейном приближении в виде

$$\dot{x}_1(t) \approx \frac{R_1^2 + R_2^2 - R_3^2 - R_4^2}{2 \left( \sqrt{\frac{\rho_0}{b}}(R_1^2 + R_3^2) + \sqrt{\frac{\rho_0}{b}}(R_2^2 + R_4^2) \right)}, \quad (21)$$

где

$$\begin{aligned} R_1 &= 1 + \sqrt{\frac{\rho_0}{b}} \left( \alpha\omega \sin \psi_1 \sin \omega t - 2B_1' \left( t - \sqrt{\frac{\rho_0}{b}}x_1 \right) \right); \\ R_2 &= \left( \alpha\omega \cos \psi_1 \sin \omega t - 2D_1' \left( t - \sqrt{\frac{\rho_0}{T_0}}x_1 \right) \right) \sqrt{\frac{\rho_0}{T_0}}; \\ R_3 &= 1 + \sqrt{\frac{\rho_0}{b}} \left( 2A_2' \left( t + \sqrt{\frac{\rho_0}{b}}x_1 \right) \right); \\ R_4 &= \left( 2C_2' \left( t + \sqrt{\frac{\rho_0}{T_0}}x_1 \right) - \alpha\omega \sin \omega \right) \sqrt{\frac{\rho_0}{T_0}}. \end{aligned}$$

Эффективность использования в расчетных схемах параметризованной координаты  $x_1$  при совместном учете продольных и поперечных колебаний нити (21) была подтверждена численными экспериментами [4], в которых обнаружены следующие эффекты, не воспроизводимые при раздельном моделировании [3]:

- зависимость скорости прохождения звуковой волны по нити от частоты возбуждения, что свидетельствует о существовании поперечной составляющей [2];
- появление высокочастотного относительно частоты возбуждения колебательного процесса, наблюдаемого в эксперименте;
- наличие первого полупериода колебания нити, установленное только при учете скольжения на опорах, а также наблюдаемое в эксперименте.

## Список литературы

- [1] РОМАНОВ В. Е., ЖАБКО А. П., КЛИМОВ В. А. К формированию прикладной теории динамики нити // Изв. вузов. Технология текстильной промышленности. 1998. №6.
- [2] ХАКИМОВ О. Ш., ХАБИБУЛЛАЕВ П. К. Акустические методы и приборы для контроля и исследования ориентированных полимеров. Ташкент: ФАН, 1990. 268 с.
- [3] МАЕЖОВ Е. Г., ЧЕРВЯКОВ В. В., ДОНСКОЙ А. С., ЖАБКО Л. Е. Первый аспект обобщенной расчетной схемы по Даламберу в динамике нити // Изв. вузов. Технология текстильной промышленности. 1999. №4.
- [4] РОМАНОВ В. Е., СААКЯН Р. Р., ЧЕРВЯКОВ В. В. и др. Программа моделирования динамики гибкой нити на высокочастотной многоопорной испытательной установке: Свидетельство об официальной регистрации программ для ЭВМ №2001610167. Российское агентство по патентам и товарным знакам (РОСПАТЕНТ) — Российская Федерация. 2001.

*Поступила в редакцию 5 апреля 2001 г.,  
в переработанном виде — 10 августа 2001 г.*